

## ПАРАМЕТРИЧЕСКИЙ СИНТЕЗ УПРАВЛЯЮЩИХ УСТРОЙСТВ ЛИНЕЙНЫХ СИСТЕМ УПРАВЛЕНИЯ

**ОМОРОВ Т.Т., ДЖОЛДОШЕВ Б.О., КОЖЕКОВА Г.А, ДЖУНУШАЛИЕВ У.Б.**

*Институт автоматике и информационных технологий НАН КР*

[izvestiva@ktu.aknet.kg](mailto:izvestiva@ktu.aknet.kg)

*Рассматривается задача построения безынерционных управляющих устройств многомерных систем управления. Методика построения наглядно иллюстрируется примером.*

*The problem of construction of operating devices of multivariate control systems is considered. The technique of construction is evidently illustrated by an example.*

В процессе проектирования автоматической системы, возникает необходимость создать необычную систему автоматического управления, а такую систему, в которой параметры (а иногда и структура) автоматически настраивались бы таким образом, чтобы фактически получающийся в ходе эксплуатации (или движения) процесс управления удовлетворял заданным требованиям. Для этого необходимо в дополнение к обычному замкнутому контуру системы управления вводить добавочное устройство, которое реагировало бы на определенные факторы, характеризующие систему, или на тот или иной показатель качества процесса управления, с тем, чтобы соответственно изменять некоторые параметры регулятора (например, коэффициент усиления) или даже его структуру так, чтобы процесс управления получал требуемое качество [1, 2].

Предположим, что управляемый объект описывается векторным линейным уравнением в отклонениях

$$\dot{e}(t) = Ae(t) + Bu(t), \quad (1)$$

$$e(t_0) = e^0, \quad t \in [t_0, t_1],$$

где  $e(t) = [e_1(t), e_2(t), \dots, e_n(t)]^T$  - n-мерный вектор ошибки управления;

$u(t) = [u_1(t), u_2(t), \dots, u_m(t)]^T$  - m-мерный вектор стабилизирующего управления;  $t_0, t_1$  - начальный и конечный моменты процесса управления;  $e^0$  - вектор начального отклонения фактического состояния  $x(t)$  объекта от желаемого состояния  $g(t)$ ; матрицы

$$A = \{a_{ij}\}_{n \times n}, \quad B = \{b_{iv}\}_{n \times m}.$$

Далее предполагается, что объект обладает свойством управляемости и все компоненты вектора ошибки управления  $e(t)$  доступны для измерения.

Пусть структура закона управления  $u(t)$  задана и определяется линейной обратной связью:

$$u(t) = Ke(t), \quad (2)$$

где матрица регулятора  $K = \{k_{ij}\}_{n \times m}$ .

Задача синтеза регулятора заключается в определении матрицы  $K$ , обеспечивающей близость к нулю компонентов  $e_i(t)$ ,  $i = \overline{1, n}$ , вектора ошибки управления. Для решения сформулированной выше задачи управления введем критериальную функцию:

$$J_i(t) = \int_0^t e_i(\tau) \dot{e}_i(\tau) d\tau, \quad i = \overline{1, n}.$$

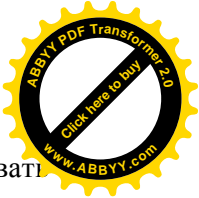
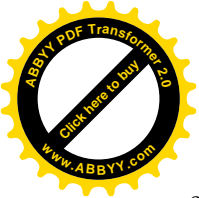
Далее будем использовать следующую теорему [3, 4].

**Теорема.** Пусть  $e_i(t_0) \neq 0$ ,  $i = \overline{1, n}$ , и для каждого  $t_0$  и  $t > t_0$  выполняются условия

$$\int_{t_0}^t e_i(\tau) \dot{e}_i(\tau) d\tau < 0, \quad i = \overline{1, n}. \quad (3)$$

Тогда модули невязок  $|e_i(t)|$  с течением времени убывают и

$$\lim_{t \rightarrow \infty} e_i(t) = 0, \quad i = \overline{1, n}.$$



Таким образом, в качестве критерия оценки качества управления можно использовать соотношения (3) и функции  $J_i(t)$ .

Уравнение замкнутой САУ получаем путем подстановки выражения (2) для закона управления  $u(t)$  в уравнение (1) объекта:

$$\dot{e}(t) = (A + BK)e(t). \quad (4)$$

Введем матрицу  $\Lambda = \{\lambda_{ij}\}_{n \times n}$ :

$$\Lambda = A + BK. \quad (5)$$

Тогда векторное уравнение (4) в координатной форме можно записать в виде

$$\dot{e}_i(t) = \sum_{j=1}^n \lambda_{ij} e_j(t), \quad i = \overline{1, n}. \quad (6)$$

Используя теорему, запишем условия, при выполнении которых замкнутая система управления будет устойчива и будет обеспечиваться цель управления:

$$J_i(t) = \int_{t_0}^t e_i(\tau) \dot{e}_i(\tau) d\tau < 0, \quad i = \overline{1, n}. \quad (7)$$

Решение сформулированной выше задачи параметрического синтеза проведем в два этапа: на первом этапе на основе критериальных соотношений (7) получим уравнения настройки параметров  $\lambda_{ij}$ ,  $i, j = \overline{1, n}$ , а на втором – уравнения адаптации параметров регулятора  $k_{iv}$ ,  $i = \overline{1, n}$ ,  $v = \overline{1, m}$ .

С учетом (6) критериальные функции  $J_i(t)$ , принятые в качестве показателя оценки качества, имеют вид

$$J_i(t) = \sum_{j=1}^n \int_{t_0}^t \lambda_{ij} e_i(\tau) e_j(\tau) d\tau, \quad i = \overline{1, n}. \quad (8)$$

Теперь потребуем, чтобы динамика переменных  $\lambda_{ij}(t)$  описывались следующими уравнениями:

$$\dot{\lambda}_{ij}(t) = \alpha_{ij}^{-1}(t) e_i(t) e_j(t), \quad i, j = \overline{1, n}, \quad (9)$$

где  $\alpha_{ij}(t)$  - функции-параметры, подлежащие определению.

С учетом соотношений (9) выражения (8) для  $J_i(t)$  имеют вид

$$J_i(t) = \sum_{j=1}^n \int_{t_0}^t \alpha_{ij}(\tau) \lambda_{ij}(\tau) \dot{\lambda}_{ij}(\tau) d\tau, \quad i = \overline{1, n}. \quad (10)$$

Теперь предположим, что выбор параметров  $\alpha_{ij}$  осуществляется по алгоритму:

$$\alpha_{ij} = \alpha_{ij}^* \operatorname{sign}[\lambda_{ij}(t) \dot{\lambda}_{ij}(t)], \quad i = \overline{1, n}, \quad (11)$$

где  $\alpha_{ij}^*$  - вещественные параметры;

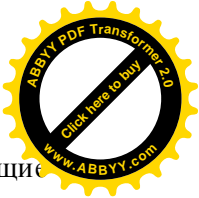
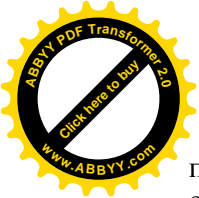
$$\operatorname{sign}(\varphi_{ij}) = \begin{cases} 1, & \text{если } \varphi_{ij} \geq 0, \\ -1, & \text{если } \varphi_{ij} < 0. \end{cases}$$

С учетом выражений (11) критериальные функции  $J_i(t)$  представляются в виде

$$J_i(t) = \sum_{j=1}^n \alpha_{ij}^* \int_{t_0}^t |\lambda_{ij}(\tau) \dot{\lambda}_{ij}(\tau)| d\tau, \quad i = \overline{1, n}. \quad (12)$$

Анализ выражений (12) показывает, что выбор параметров  $\alpha_{ij}^*$ , удовлетворяющих соотношению  $\alpha_{ij}^* < 0$ ,  $i, j = \overline{1, n}$ , (13)

обеспечивает выполнение условий (7), т.е. стремление ошибок управления  $e_i(t)$ ,  $i = \overline{1, n}$ , к нулю. Следует отметить, что техническая или программная реализация параметров  $\alpha_{ij}$ , определяемых формулами (11), представляется сложной проблемой. В связи с этим исследуем возможность



получения эквивалентных формул для их вычисления. Для этой цели рассмотрим следующие соотношения [5]:

$$\int_{t_0}^t \lambda_{ij}(\tau) \dot{\lambda}_{ij}(\tau) d\tau = 0,5[\lambda_{ij}^2(t) - \lambda_{ij}^2(t_0)], \quad i, j = \overline{1, n}. \quad (14)$$

Теперь исследуем ситуацию, когда текущий момент времени  $t$  находится в непосредственной близости от момента  $t_0$ , т.е.  $t_0 \in [t - \Delta t, t]$ , где  $\Delta t$  - малое положительное число (время задержки). В этом случае соотношения (14) с достаточно высокой точностью можно аппроксимировать следующими равенствами:

$$\lambda_{ij}(t) \dot{\lambda}_{ij}(t) \Delta t \approx 0,5[\lambda_{ij}^2(t) - \lambda_{ij}^2(t_0)], \quad i, j = \overline{1, n}. \quad (15)$$

Отсюда видно, что при достаточно малом  $\Delta t > 0$  знаки функций, входящих в левые и правые части выражений (15), совпадают:

$$\text{sign}[\lambda_{ij}(t) \dot{\lambda}_{ij}(t)] = \text{sign}[\lambda_{ij}^2(t) - \lambda_{ij}^2(t_0)], \quad i, j = \overline{1, n},$$

В результате выражения (11) для вычисления искомых параметров можно заменить следующими эквивалентными формулами:

$$\alpha_{ij}(t) = \alpha_{ij}^* \text{sign}[\lambda_{ij}^2(t) - \lambda_{ij}^2(t - \tau_0)], \quad i, j = \overline{1, n}. \quad (16)$$

Теперь получим уравнения адаптации параметров регулятора. Продифференцируем левую и правую части матричного соотношения (5):

$$\dot{\Lambda}(t) = B \dot{K}(t). \quad (17)$$

При этом матрица

$$\Lambda(t) = F(t) = \{f_{ij}(t)\}_{n \times n}, \quad (18)$$

где  $f_{ij}(t)$  - функции, составленные из правых частей уравнений (9):

$$f_{ij}(t) = \alpha_{ij}^{-1}(t) e_i(t) e_j(t), \quad i, j = \overline{1, n}. \quad (19)$$

В результате для определения уравнений адаптации параметров регулятора получаем следующее матричное соотношение:

$$B \dot{K}(t) = F(t). \quad (20)$$

Рассмотрим случай, когда размерности векторов ошибки  $e(t)$  и управления  $u(t)$  равны, т.е.  $n = m$ ;

Пусть существует обратная матрица  $B^{-1}$ , тогда получаем явное решение уравнения (20):  $\dot{K}(t) = B^{-1} F(t)$ . (21)

Введем матрицу  $\hat{B} = B^T B$ . Предположим, что для  $\hat{B}$  существует обратная матрица  $\hat{B}^{-1}$ . Тогда решение уравнения (20) можно записать в виде:  $\dot{K}(t) = \hat{B}^{-1} B^T F(t)$ . (22)

Следует отметить, что установившееся решение матричного уравнения (22)

$$K^* = \{k_{ij}^*\}_{m \times n} = \lim_{t \rightarrow \infty} K(t) \quad (23)$$

представляет собой вариант решения задач синтеза адаптивного регулятора.

**Пример.** Рассматривается задача динамического расчета системы управления синхронным генератором. Синхронный генератор является одной из важнейших подсистем энергосистемы. Его режим работы в значительной степени определяет эффективность всей системы.

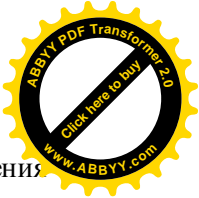
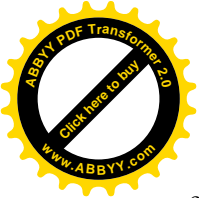
В качестве объекта управления (ОУ) рассмотрим синхронный генератор (СГ), функционирующий в симметричном режиме.

Управляемый объект описывается векторным линейным уравнением в отклонениях

$$\begin{cases} \dot{x}_1(t) = a_{11}x_1(t) + a_{13}x_3(t) + b_{11}u_1(t), \\ \dot{x}_2(t) = a_{21}x_1(t) + a_{23}x_3(t) + b_{22}u_2(t), \\ \dot{x}_3(t) = x_2(t) \end{cases}$$

где  $x = \begin{bmatrix} x_1 \\ x_2 \\ x_3 \end{bmatrix}$ ,  $u = \begin{bmatrix} u_1 \\ u_2 \end{bmatrix}$ , при начальных условиях:  $x_1(0) = 0.15$ ,  $x_2(0) = 0.05$ ,  $x_3(0) = 0.05$ ,

$a_{11} = -0.565$ ,  $a_{13} = 0.756$ ,  $a_{21} = -0.5316$ ,  $a_{23} = -0.401$ ,  $b_{11} = 0.34$ ,  $b_{22} = 0.211$ ,



Объект обладает свойством управляемости и все компоненты вектора ошибки управления  $e(t)$  доступны для измерения.

Требования к качеству управления заданы в виде следующих модульных ограничений:

$$|x_j(t)| \leq \sigma_j(t), \quad j = \overline{1,3},$$

$$\sigma_1(t) = \sigma_1^0 e^{\alpha t}, \quad \sigma_1^0 = 0.25, \quad \alpha = -2,$$

где  $\sigma_2(t) = \sigma_2^0 e^{\alpha t}, \quad \sigma_2^0 = 0.05,$

$$\sigma_i \leq \Delta_i, \quad i = \overline{1,2}, \quad \Delta_1 = \Delta_2 = 0.01,$$

$x_1$  – отклонение э.д.с. генератора;  $x_2$  – отклонение угловой частоты вращающего ротора генератора;  $x_3$  – отклонение угла ротора генератора;  $u_1$  – отклонение э.д.с. возбудителя,  $u_2$  – отклонение механического момента.

Матрицы коэффициентов объекта управления

$$A = \begin{bmatrix} a_{11} & 0 & a_{13} \\ a_{21} & 0 & a_{23} \\ 0 & 1 & 0 \end{bmatrix}, \quad B = \begin{bmatrix} b_{11} & 0 \\ 0 & b_{22} \\ 0 & 0 \end{bmatrix}, \quad C = \begin{bmatrix} 1 & 0 & 0 \\ 0 & 1 & 0 \\ 0 & 0 & 1 \end{bmatrix}.$$

Структуру закона управления  $u(t)$  зададим в виде (2), где матрица регулятора

$$K(t) = \{k_{ij}(t)\} = \begin{bmatrix} k_{11}(t) & k_{12}(t) & k_{13}(t) \\ k_{21}(t) & k_{22}(t) & k_{23}(t) \end{bmatrix}.$$

Уравнение замкнутой системы

$$\dot{y} = C\dot{x} = C[Ax + Bu] = CAx + CBu = \widehat{A}x + \widehat{B}u,$$

где матрицы  $\widehat{A} = CA = \begin{bmatrix} -0.565 & 0 & -0.756 \\ -0.5316 & 0 & -0.401 \\ 0 & 1 & 0 \end{bmatrix}, \quad \widehat{B} = CB = \begin{bmatrix} 0.34 & 0 \\ 0 & 0.211 \\ 0 & 0 \end{bmatrix}.$

Матрица замкнутой системы

$$\Lambda(t) = \widehat{A}x + \widehat{B}u = \begin{bmatrix} \lambda_{11}(t) & \lambda_{12}(t) & \lambda_{13}(t) \\ \lambda_{21}(t) & \lambda_{22}(t) & \lambda_{23}(t) \\ \lambda_{31}(t) & \lambda_{32}(t) & \lambda_{33}(t) \end{bmatrix}.$$

Формируем матрицу

$$F(t) = \begin{bmatrix} f_{11}(t) & f_{12}(t) & f_{13}(t) \\ f_{21}(t) & f_{22}(t) & f_{23}(t) \\ f_{31}(t) & f_{32}(t) & f_{33}(t) \end{bmatrix},$$

где  $f_{ij}(t) = \alpha_{ij}^{-1} \cdot x_i(t) \cdot x_j(t),$

Матричное дифференциальное уравнение  $\dot{K}(t) = B^{-1}F(t),$  или

$$\begin{bmatrix} \dot{k}_{11}(t) & \dot{k}_{12}(t) & \dot{k}_{13}(t) \\ \dot{k}_{21}(t) & \dot{k}_{22}(t) & \dot{k}_{23}(t) \end{bmatrix} = \begin{bmatrix} 2.9412 & 0 & 0 \\ 0 & 4.7393 & 0 \end{bmatrix} \cdot \begin{bmatrix} f_{11}(t) & f_{12}(t) & f_{13}(t) \\ f_{21}(t) & f_{22}(t) & f_{23}(t) \\ f_{31}(t) & f_{32}(t) & f_{33}(t) \end{bmatrix} \text{ где } b_{01} = 2.9412, \quad b_{02} = 4.7393.$$

$$= \begin{bmatrix} b_{01} & 0 & 0 \\ 0 & b_{02} & 0 \end{bmatrix} \cdot \begin{bmatrix} f_{11}(t) & f_{12}(t) & f_{13}(t) \\ f_{21}(t) & f_{22}(t) & f_{23}(t) \\ f_{31}(t) & f_{32}(t) & f_{33}(t) \end{bmatrix},$$

Элементы матричного дифференциального уравнения адаптации параметров регулятора (контура самонастройки):

$$\begin{cases} \dot{k}_{11}(t) = b_{01} \cdot \frac{1}{\gamma_{11}^* \cdot \text{sign} [\lambda_{11}^2(t) - \lambda_{11}^2(t - \tau_0)]} \cdot x_1^2(t), \\ \dot{k}_{12}(t) = b_{01} \cdot \frac{1}{\gamma_{12}^* \cdot \text{sign} [\lambda_{12}^2(t) - \lambda_{12}^2(t - \tau_0)]} \cdot x_1(t)x_2(t), \\ \dot{k}_{13}(t) = b_{01} \cdot \frac{1}{\gamma_{13}^* \cdot \text{sign} [\lambda_{13}^2(t) - \lambda_{13}^2(t - \tau_0)]} \cdot x_1(t)x_3(t), \\ \dot{k}_{21}(t) = b_{02} \cdot \frac{1}{\gamma_{21}^* \cdot \text{sign} [\lambda_{21}^2(t) - \lambda_{21}^2(t - \tau_0)]} \cdot x_1(t)x_2(t), \\ \dot{k}_{22}(t) = b_{02} \cdot \frac{1}{\gamma_{22}^* \cdot \text{sign} [\lambda_{22}^2(t) - \lambda_{22}^2(t - \tau_0)]} \cdot x_2^2(t), \\ \dot{k}_{23}(t) = b_{02} \cdot \frac{1}{\gamma_{23}^* \cdot \text{sign} [\lambda_{23}^2(t) - \lambda_{23}^2(t - \tau_0)]} \cdot x_2(t)x_3(t). \end{cases}$$

Выберем параметры контура самонастройки регулятора в следующем виде:

$$\gamma_{ij}^* < 0, \quad \gamma_{i\bar{i}}^* = -10^{-4}, \quad \gamma_{1\bar{2}}^* = -10, \quad \gamma_{1\bar{3}}^* = -9 \cdot 10^{-4}, \quad \gamma_{2\bar{1}}^* = -25, \quad \gamma_{2\bar{2}}^* = -10^{-3}, \quad \gamma_{2\bar{3}}^* = -8.5 \cdot 10^{-4}.$$

Начальные условия:

$$k_{11}(t) = 0.01, \quad k_{12}(t) = 0.05, \quad k_{13}(t) = 0.05, \quad k_{21}(t) = 0.01, \quad k_{22}(t) = 0.01, \quad k_{23}(t) = 0.015.$$

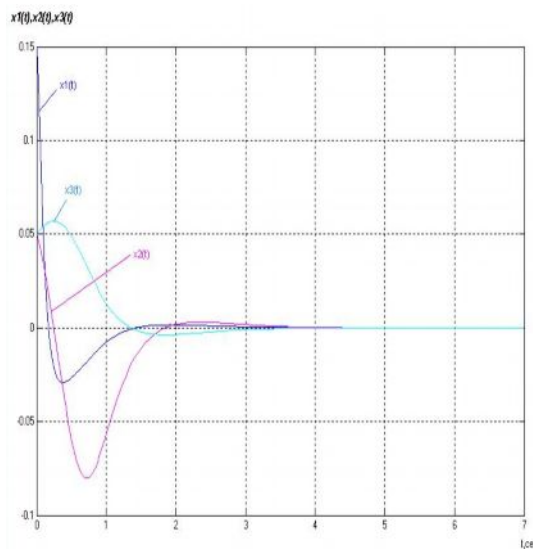


Рис.1. Переходные процессы по управляемым переменным  $x_1(t)$ ,  $x_2(t)$ ,  $x_3(t)$

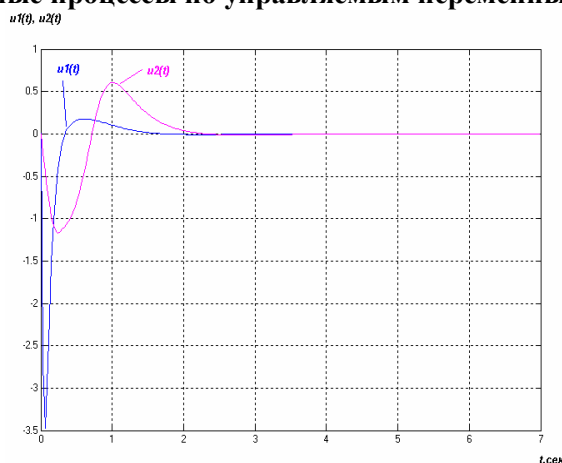


Рис.2. Графики управляющих воздействий  $u_1(t)$ ,  $u_2(t)$

Линейный закон управления  $u(t)$  имеет:

$$u_1(t) = k_{11}(t) \cdot x_1(t) + k_{12}(t) \cdot x_2(t) + k_{13}(t) \cdot x_3(t),$$

$$u_2(t) = k_{21}(t) \cdot x_1(t) + k_{22}(t) \cdot x_2(t) + k_{23}(t) \cdot x_3(t).$$

На основе моделирования с использованием программной системы MATLAB/Simulink [6] построены графики управляемых процессов по  $x_1(t)$ ,  $x_2(t)$ ,  $x_3(t)$  и закона управления по  $u_1(t)$ ,  $u_2(t)$ , которые приведены на рис.2, 3.



Анализ полученных результатов показывает, что синтезированная система управления обеспечивает устойчивость и соответствующие показатели качества системы управления.

### Литература

1. Попов Е.П. Теория линейных систем автоматического регулирования и управления. – М.: Наука, 1988. – 256 с.
2. Справочник по теории автоматического управления / Под ред. А.А. Красовского.– М.: Наука, 1987. – 712с
3. Оморов Т.Т., Кожекова Г.А. Синтез систем управления многомерными объектами по критериальным ограничениям //Известия НАН КР. - Б.: Илим, 2009.-№1.-С.45-51.
4. Оморов Т.Т., Джолдошев Б.О., Кожекова Г.А. Новые алгоритмы адаптивного управления и идентификации систем // Респ. научно-практическая конференция. -Бишкек, КРСУ, 2008. – С.
5. Оморов Т.Т., Шаршеналиев Ж.Ш. Управление многомерными объектами на основе концепции допустимости.–Б.:Илим,1996.–160с.
6. <http://matlab.exponenta.ru/simulink/book1/index.php>.

